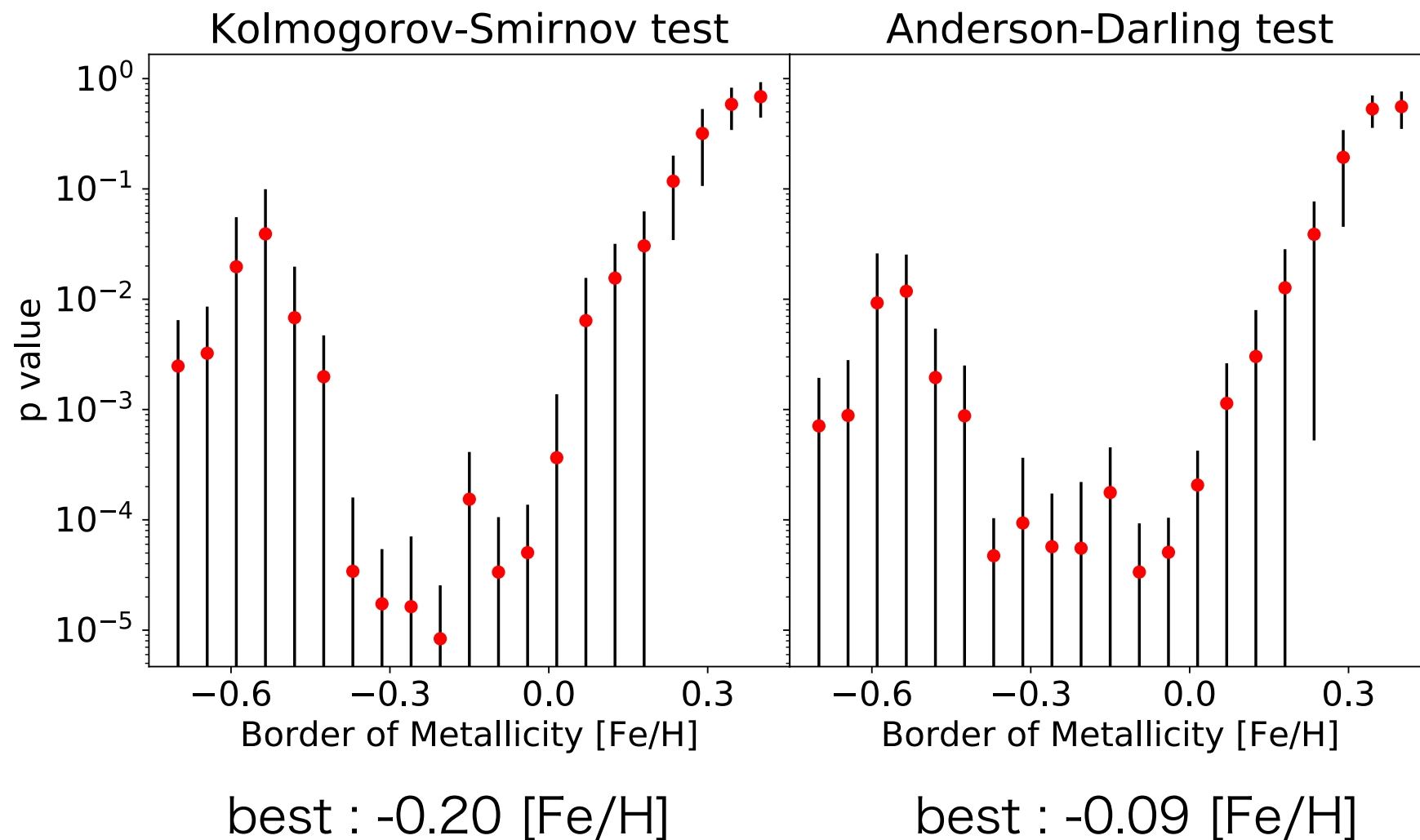


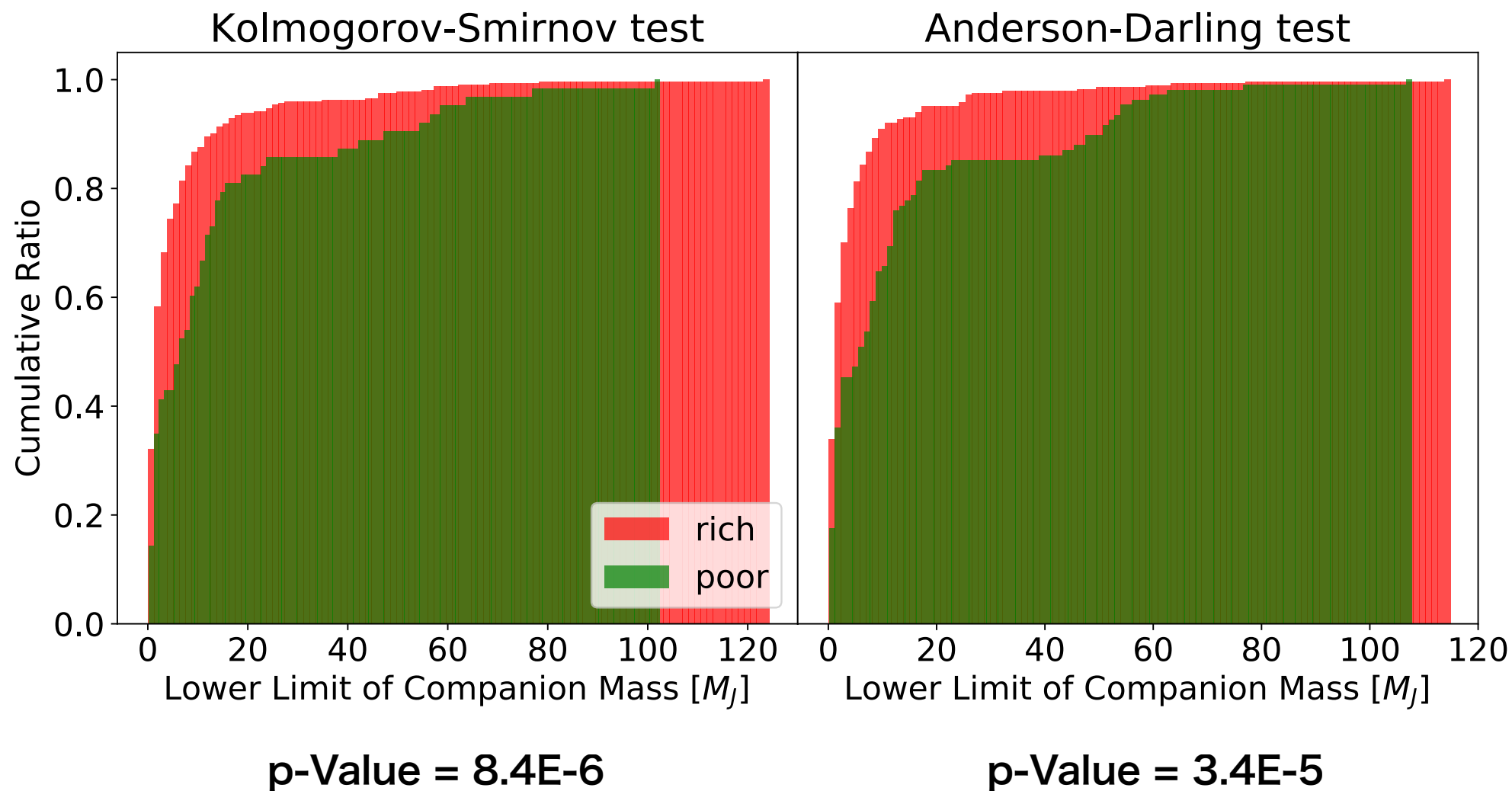
惑星欠乏領域から示唆される 巨大ガス惑星の形成過程

赤外線天文グループ 博士課程前期2年 合田翔平

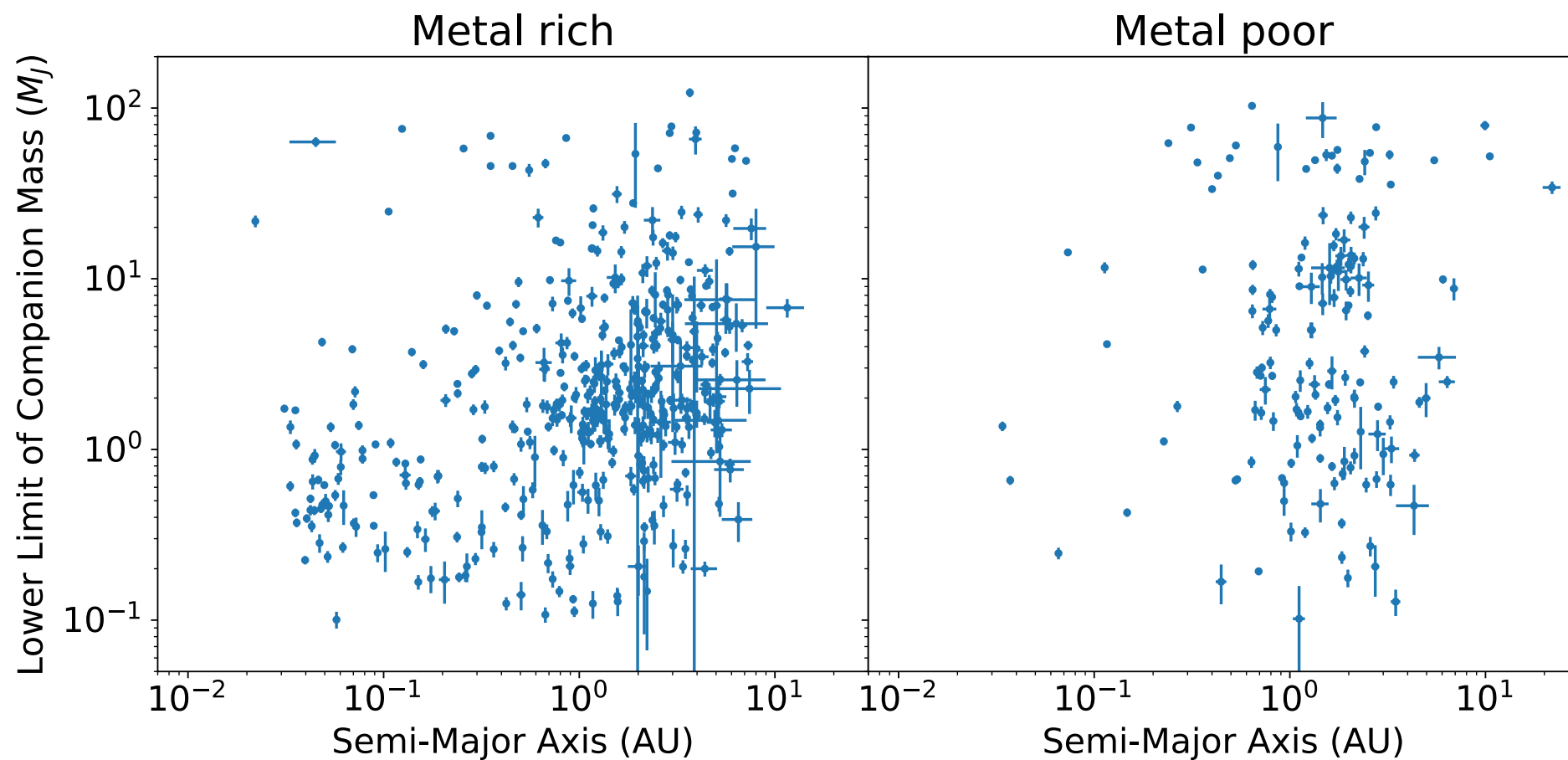
KS検定とAD検定で求めた金属量の境界線とp値



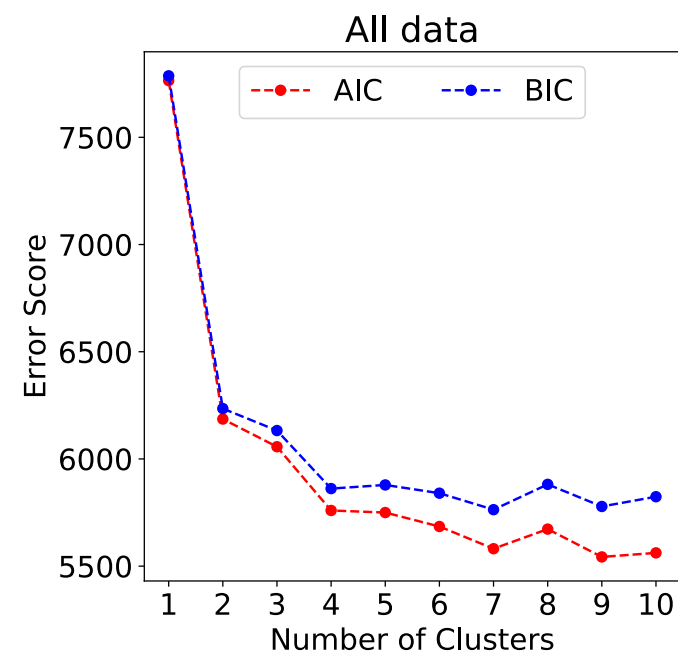
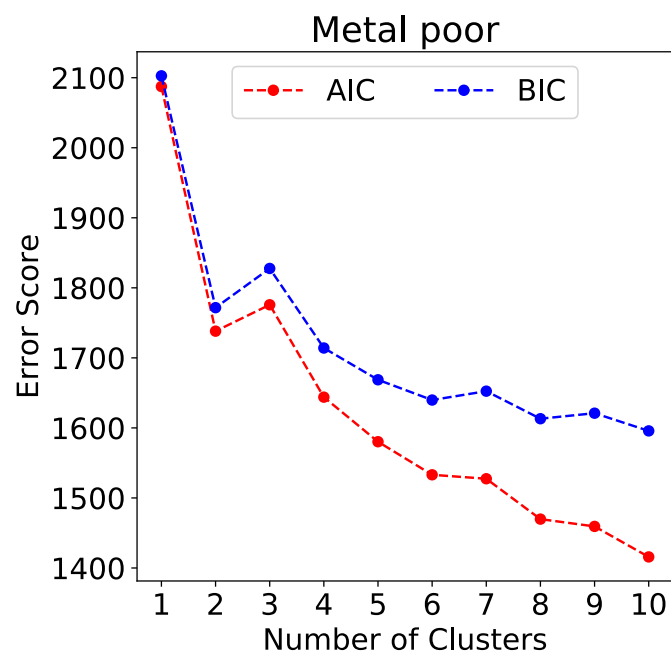
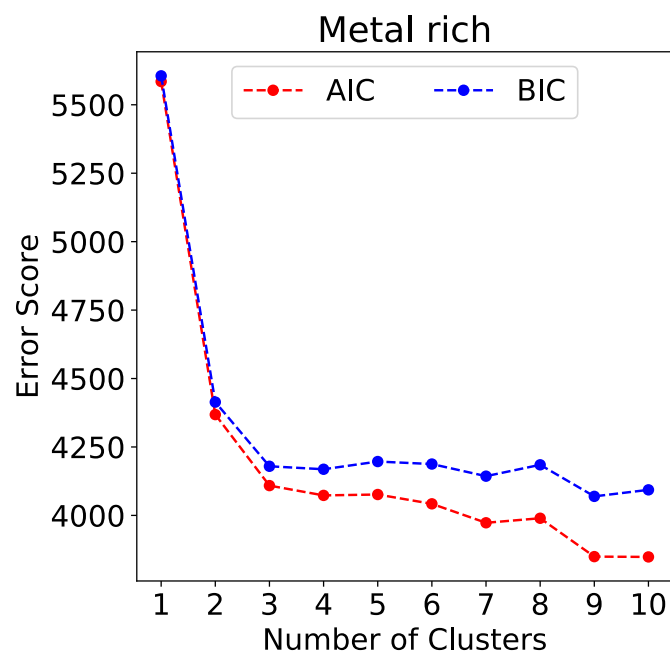
最適な金属量の境界線における惑星質量の累積分布



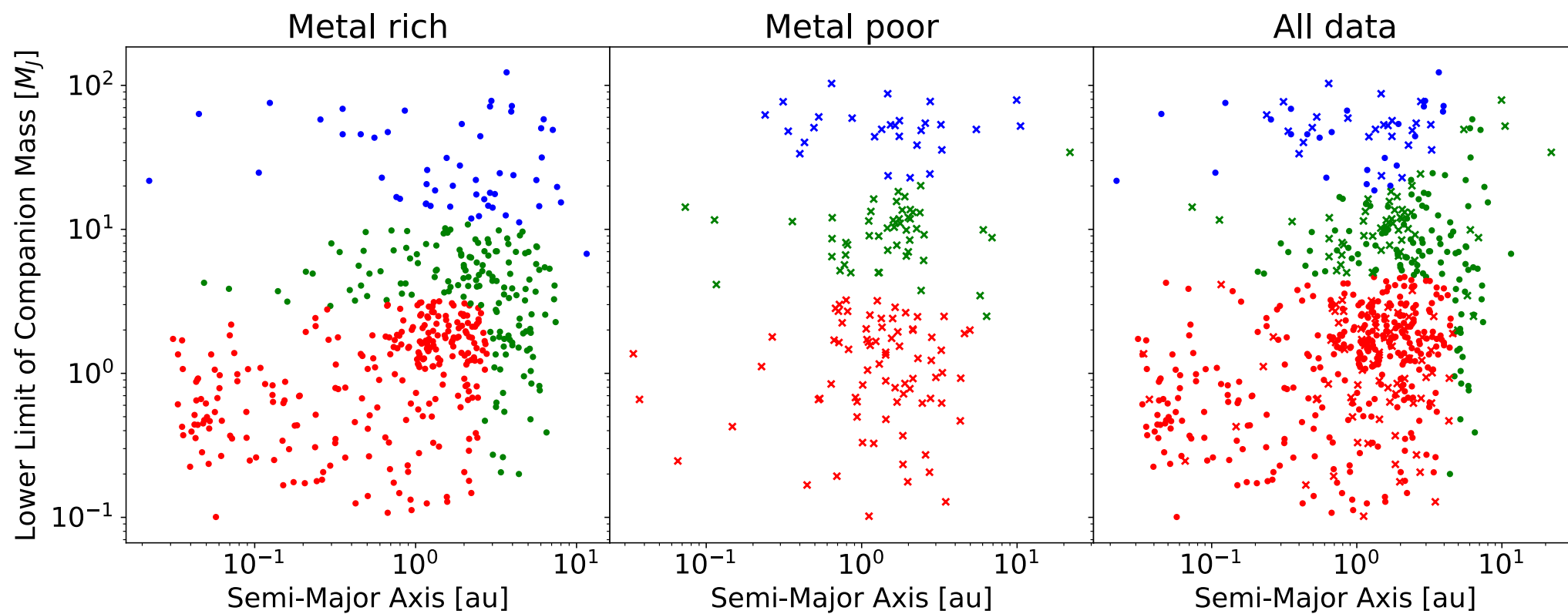
最適な金属量の境界線で分けた惑星分布



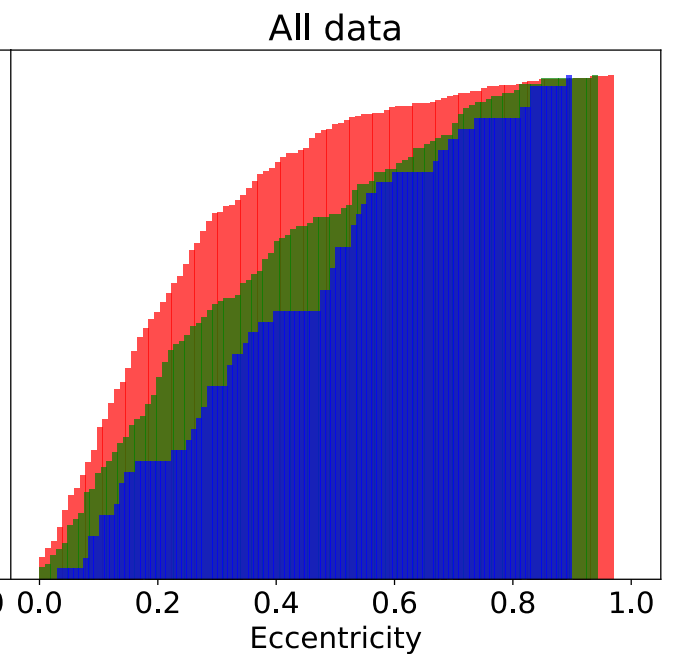
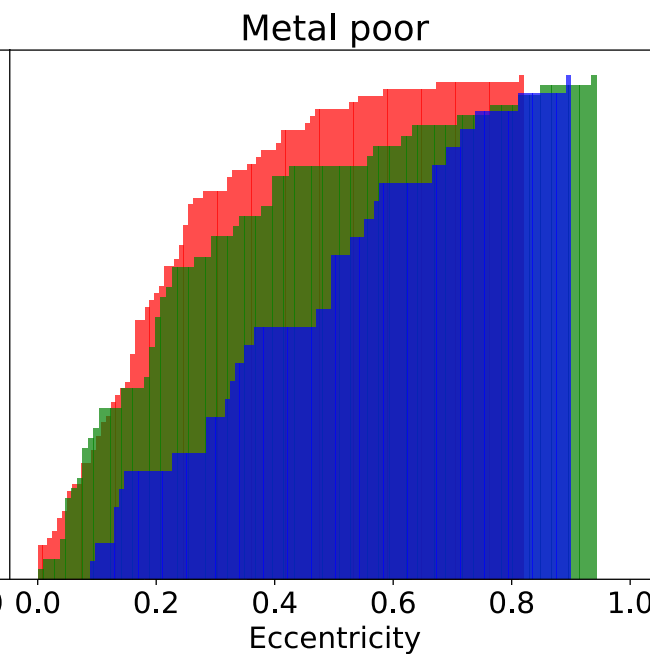
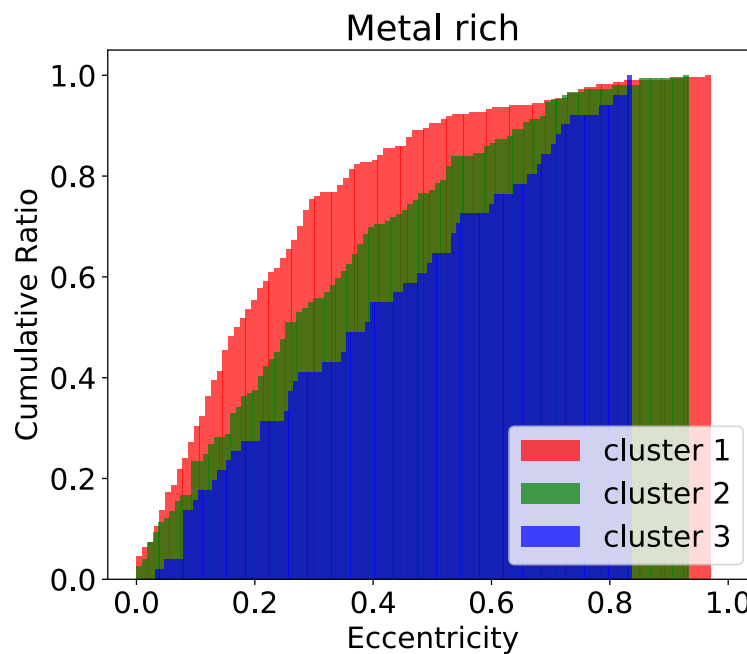
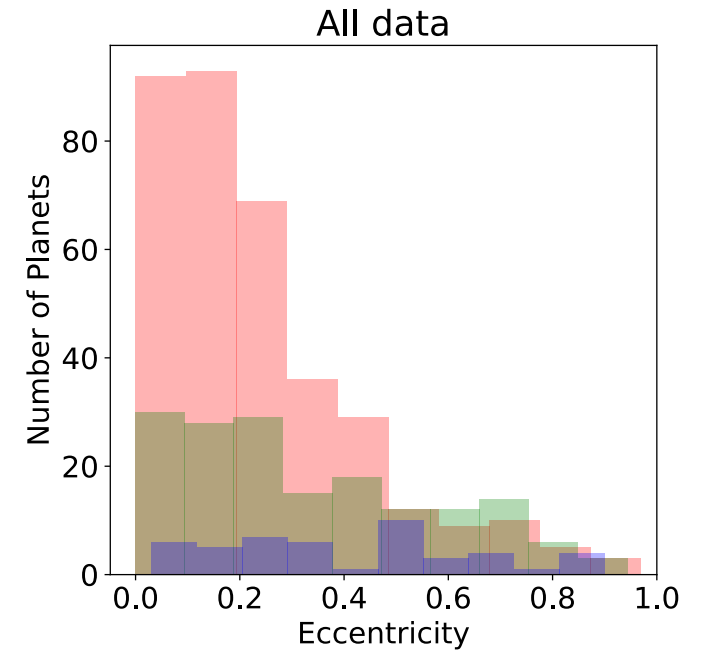
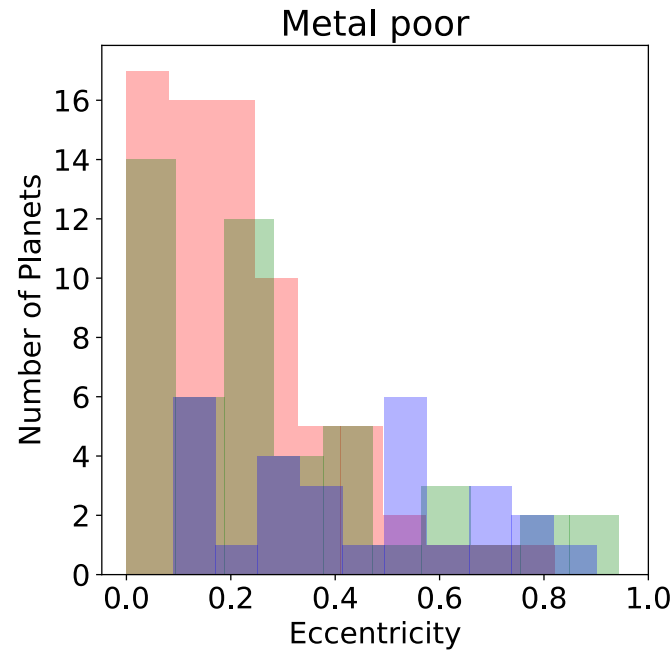
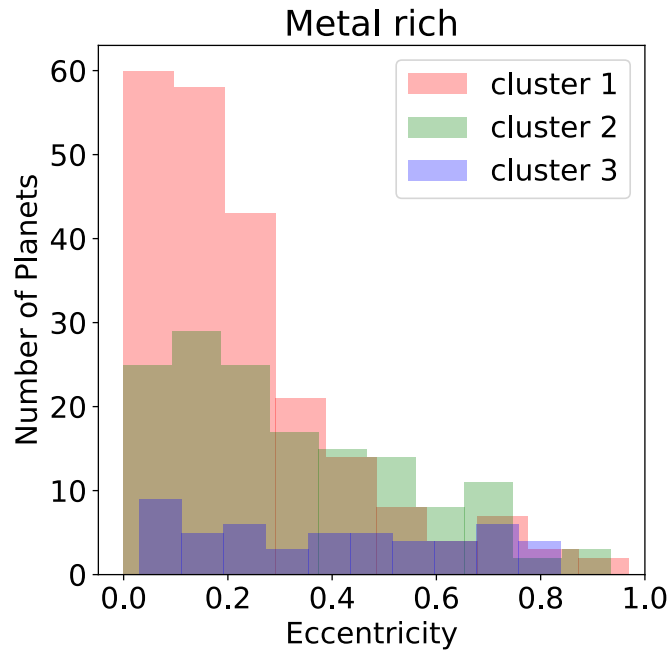
GMMで分類したクラスター数に対するBICの評価



GMMで分類した惑星分布



クラスターごとの軌道離心率の分布



軌道離心率の分布同士のp値(AD検定)

		Metal rich			Metal poor			All data		
		1	2	3	1	2	3	1	2	3
Metal rich	1	1	0.000491	0.000028	0.754918	0.414061	0.000037	1	0.000099	0.000013
	2	0.000491	1	0.030149	0.002250	0.223309	0.019371	0.000516	0.732144	0.015978
	3	0.000028	0.030149	1	0.000059	0.008473	0.614494	0.000023	0.121193	0.922242
Metal poor	1	0.754918	0.002250	0.000059	1	0.266080	0.000047	0.643495	0.000875	0.000023
	2	0.414061	0.223309	0.008473	0.266080	1	0.003870	0.466759	0.181494	0.003042
	3	0.000037	0.019371	0.614494	0.000047	0.003870	1	0.000039	0.049873	1
All data	1	1	0.000516	0.000023	0.643495	0.466759	0.000039	1	0.000070	0.000012
	2	0.000099	0.732144	0.121193	0.000875	0.181494	0.049873	0.000070	1	0.045663
	3	0.000013	0.015978	0.922242	0.000023	0.003042	1	0.000012	0.045663	1